

砂質土の剛性率に関する実験的考察(オ2報)

愛知工業大学 正員 ○奥村哲夫
" " 大根義男

1. はじめに

地盤とか土壤構造物などの地震応答を解析するためには、まず土の剛性率を明らかにしておく必要がある。最近の研究結果によると、砂質土の剛性率は主として、ヒズミ(r)、有効拘束圧(G_m)、および間隙比(e)や粒度分布などに影響されることが報告されている。しかし、淤泥生成砂など、いわゆる乱した試料を用いた室内測定値と現場における弹性波測定値との間にはかなりの差が認められており。このことは剛性率に対する影響要素は単に上記ばかりではなく、他に求めなければならぬことを示唆するものと考えられる。本報告は剛性率に対する影響要素として、土粒子の骨格強度に着目し、振動三軸試験機を用い、不搅乱土と搅乱土に対し、くり返し試験を行ない、ヒズミレベル $r=5 \times 10^{-4} \sim 5 \times 10^{-3}$ の範囲で得られた剛性率について両者を比較検討したものである。

2. 試料、実験方法

試料は表-1に示すような物理性を有する標準砂と7ヶ所の淤泥生成砂から採取した不搅乱土($No.1 \sim No.7$)である。実験はいづれも液状化試験と同じ方法であり、圧密非排水条件、サン波 $f=2 \text{ Hz}$ で行なった。初期拘束圧は、標準砂の場合 $0.5, 1.0, 1.5, 2.0, 2.5 \text{ kg/cm}^2$ 、不搅乱土の場合 $0.5, 1.0, 1.5 \text{ kg/cm}^2$ とした。また、不搅乱土に対しては完全飽和を期すため 1.0 kg/cm^2 のバックプレッシャーを与えた。なお、使用した試験機は 180° の位相差で $0.1 \sim 10 \text{ Hz}$ を独立して供試体に載荷可能な振動三軸試験機である。

3. 結果および考察

龍岡らの報告によると、 G と e の間には G に無関係で、 $f(e) = (217-e)^2/(1+e)$ が成り立ち、また G は、 $G = A(r) \cdot B \cdot f(e) \cdot 0m^{m(r)}$ で与えられることが示されている。²⁾ $A > B$ 、 $A(r), m(r)$ はヒズミにより定まり、 B は粒度分布に関する係数である。

まず、飽和剝離がくり返しセン断を受け過剝間隙水圧の増大に伴い有効応力が減少し、ヒズミが増大する過程から求め得る G と、間隙水圧の発生を伴なわない過程から求められる

表-1. 試料の性質

	標準砂	No.1	No.2	No.3	No.4	No.5	No.6	No.7
比重 γ_s	2.640	2.681	2.663	2.657	2.672	2.790	2.688	2.750
74%以下含水率 (%)	0.5	10.2	3.0	2.0	9.0	29.0	7.0	10.0
D_{10} (mm)	0.12	0.05	0.17	0.15	0.09	0.006	0.09	0.071
U_c	1.46	2.8	2.3	2.8	3.0	46.7	1.7	2.1
P_e (kg/cm^2)	—	1.90	1.28	3.25	4.10	3.4	2.1	5.1

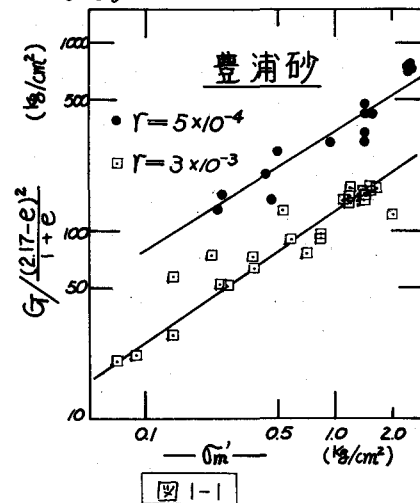


図 1-1

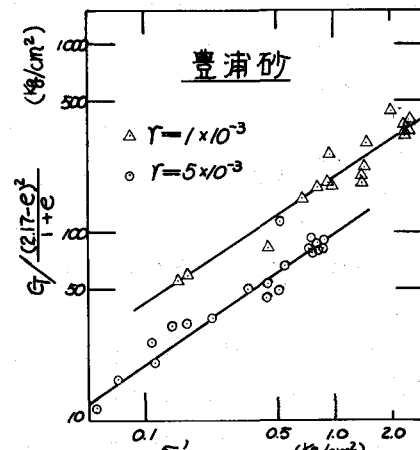


図 1-2

G との比較を行なうため、標準砂について(1)式の関係から、 $G/G(e) \sim \sigma_m'$ 関係を示したのが図-1、図-2である。なお、 G は1サイクル中の最大せん断応力 τ_{max} とせん断ヒズミ γ ($\gamma = (1+e)\epsilon_1$ 、圧密非排水条件: $e=0.5$) の比から求めた。図-2の破線は建設省土木研究所で得られた低周波動的せん断試験による同一試料のデータである。これらの図から、 $\gamma = 5 \times 10^{-4}, 1 \times 10^{-3}$ では G の値にかなりの差がみられ本実験から得られる値は小さくなっている。また、破壊ヒズミ付近では拘束圧に対する G への影響の違いが顕著にあらわれている。本実験結果では多少のバラツキはあるが各 γ に対して G は次式で表わされる。

$$\begin{aligned} \gamma = 5 \times 10^{-4} & \quad G = 340 \frac{(2.17-e)^2}{(1+e)} \sigma_m'^{0.62} \\ \gamma = 1 \times 10^{-3} & \quad G = 200 \frac{(2.17-e)^2}{(1+e)} \sigma_m'^{0.67} \\ \gamma = 5 \times 10^{-3} & \quad G = 100 \frac{(2.17-e)^2}{(1+e)} \sigma_m'^{0.70} \end{aligned}$$

図-3は、不擾乱と擾乱土の G の相異を調べる為に G と e の関係を整理したものである。現状をした試料の試験結果が散量的に十分でない為、粒度分布の相異による影響は不明であるが、両者の間には $\gamma = 10^{-3}$ 以下において明らかに相異が見られる。不擾乱土の G は擾乱土の G よりもかなり大きな値を示している。また、破壊ヒズミに近い $\gamma = 5 \times 10^{-3}$ 附近では不擾乱土の骨格構造がほとんど崩壊し擾乱土の値とは一一致している。そして値のバラツキが特に認められないことを考えると不擾乱土の G は e に大きく依存する傾向にあることが推定される。

図-4は、不擾乱土の粒子間結合力(セメント)の大きさを示す量と思われる圧密瞬状応力 P_d と擾乱土に対する不擾乱土の G の比、 G_{undr}/G_{dis} (G_{dis} は不擾乱土の e における標準砂の G) の関係を各ヒズミレベルに対して示したものである。この図から破壊以前のヒズミにおいて、 P_d の増大とともに低下に伴って G_{undr}/G_{dis} の値は数倍になることが推定され、冒頭に想定したように骨格強度の大きさが G に対し顕著に影響することがうかがわれる。しかし、これらは三軸試験機を用いたの限られた範囲における試験結果に基づいているものであるから一般性に及ぼしきことは言えまでもない。今後は共振法試験等の併用により広範囲の γ に対して総合的に検討しようと考へている。

参考文献： 1). 岩崎龍岡“砂の動的変形特性の室内実験と現場測定の比較” 土木学会第31回年次学術講演会概要集。 2). 高木・岩崎・龍岡“室内実験による砂の動的変形特性の信頼性” 土木学会第31回年次学術講演会概要集。

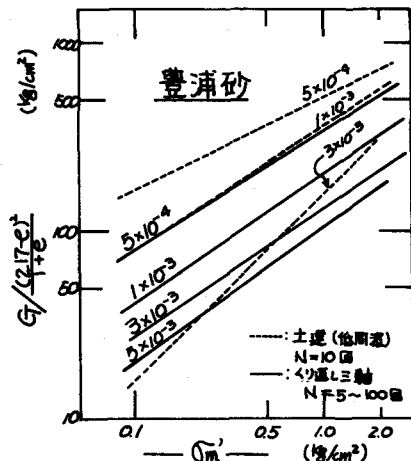


図-2

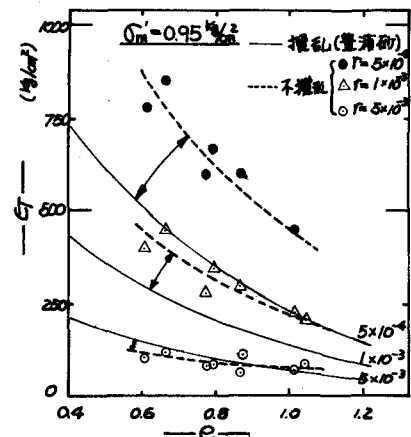


図-3

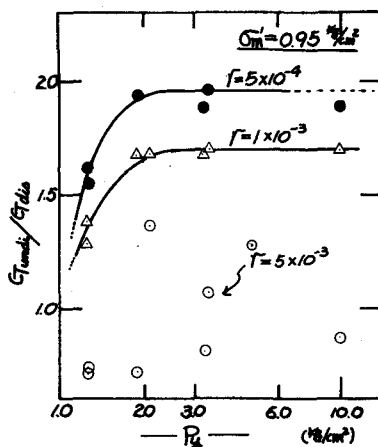


図-4